

基于 Intel Xeon/Xeon Phi 平台的关于离散时间对冲误差的并行化研究

叶帆^{1,2} 陈浪石^{1,3} 潘慈辉^{1,4}

¹Maison de la Simulation

²Atomic Energy and Alternative Energies Commission (C.E.A)

³French National Centre for Scientific Research (C.N.R.S)

⁴Versailles Saint-Quentin-en-Yvelines University



November 3, 2014

内容提要

- 1 背景介绍
- 2 课题陈述
- 3 并行化算法
- 4 实验结果及分析

内容提要

- 1 背景介绍
- 2 课题陈述
- 3 并行化算法
- 4 实验结果及分析

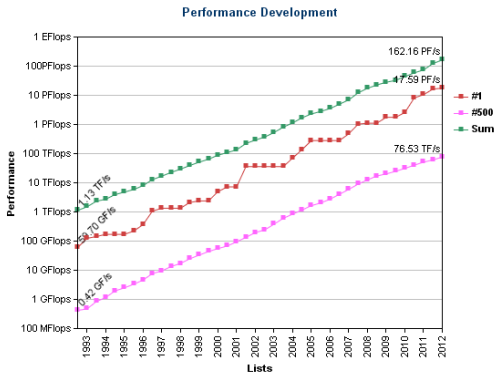
超算发展及 Xeon Phi

高性能计算已经进入后 Petaflop(10^{15})时代。但是能优化到 Petaflop 级别的实际应用却很少，面临问题如下

- 算法的内在并行性不足
- 并行算法的通信受制于内存和网络连接
- 并行编程的难度

超级计算机本身还面临

- 能耗过大



超算 Top500 发展趋势

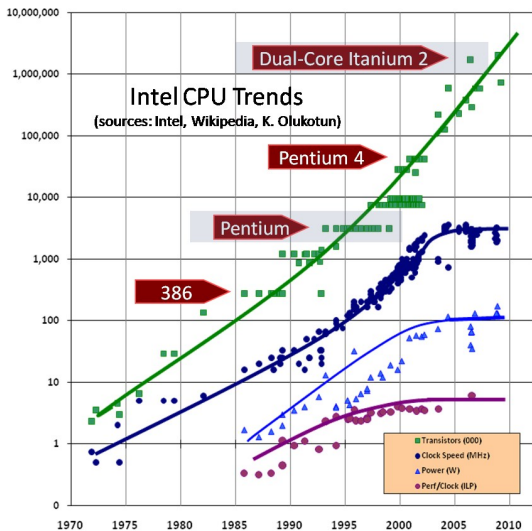
超算发展及 Xeon Phi

单个 CPU 的发展已经达到性能和功耗的瓶颈，超算转向众核架构(Manycore)，其具有如下优势

- 高带宽(bandwidth)带来的高通量(high data throughput)
- 高能耗效率(flops/watt)
- 适合大规模的数据并行性应用(data parallel)

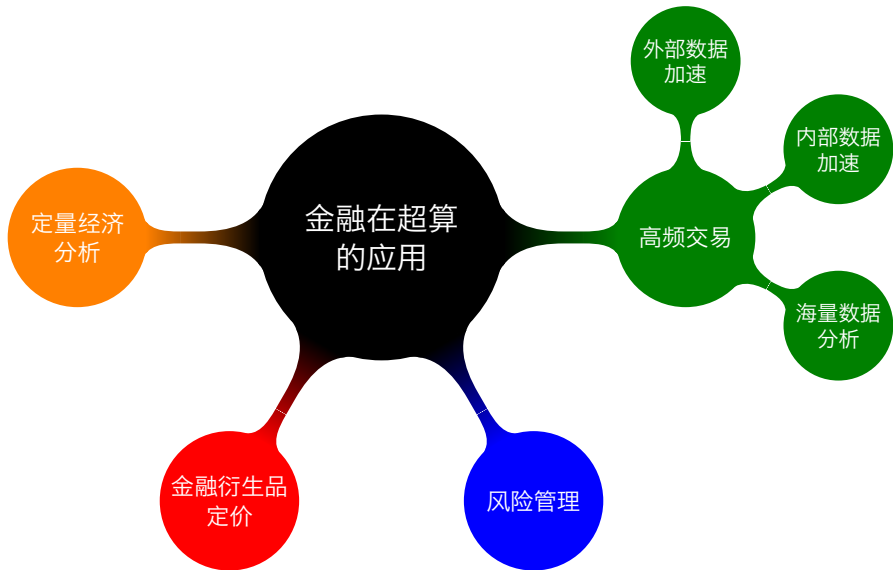
目前众核结构处理器的代表

- Nvidia 的 GPU 加速器
- Intel 的 Xeon Phi 协处理器



单个 CPU 发展遇到的各种瓶颈问题

金融领域的超算



金融在高性能计算上的几大应用

金融领域的超算

高频交易

从那些人们无法利用的极为短暂的市场变化中寻求获利的计算机化交易

- ① 数据在交易所和计算机之间加速(co-location)
- ② 数据在计算机内部加速(网卡+CPU 或者 FPGA)
- ③ 海量数据的分析工作

金融衍生品定价

衍生品的复制与对冲策略，以减少最终收益的不确定性

- 模型的复杂度带来了密集的计算量
- 对冲的时效性需要计算的高速性

金融交易越来越依赖计算机程序和高性能计算集群

内容提要

- 1 背景介绍
- 2 课题陈述
- 3 并行化算法
- 4 实验结果及分析

欧式期权

content

Black-Scholes 模型

content

content

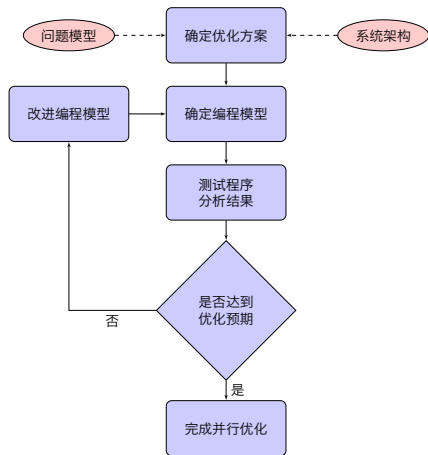
参数选择及收敛条件

content

内容提要

- 1 背景介绍
- 2 课题陈述
- 3 并行化算法**
- 4 实验结果及分析

常用的并行化策略



针对内存使用的优化

- 对齐数据(data alignment)
- 数据块(cache blocking)
- 预读取(prefetching)
- 流式存储技术(streaming store)

针对 for 循环的改进

- 循环展开(loop unrolling)
- 分块循环(loop tiling)
- 循环互换(loop interchange)
- 循环合并(loop fusion)
- 循环偏移(loop skewing)
- 循环剥离(loop peeling)

算法并行性分析

```
procedure BSERROR(M, N)
  error  $\leftarrow$  0
  NRV[N]
  BM[N]
  PX[N + 1]
   $\delta t \leftarrow T/N$ 
  count  $\leftarrow$  0
  for m = 1 : M do
    error  $\leftarrow$  0
    for all NRV[j] do NRV[j]  $\leftarrow$  GaussianNumGenerator()
    end for
    BM[0]  $\leftarrow$  NRV[0]  $\cdot \sqrt{\delta t}$ 
    for all BM[j] do BM[j]  $\leftarrow$  BM[j - 1] + NRV[j]  $\cdot \sqrt{\delta t}$ 
    end for
    PX[0]  $\leftarrow$  X0
    for all j = 1 : N + 1 do
      PX[j]  $\leftarrow$  X0  $\cdot \exp(-0.5 \cdot \sigma^2 \cdot j \cdot \delta t + \sigma \cdot BM[j - 1])$ 
    end for
    for all j = 0 : N - 1 do
      Upper  $\leftarrow$  (log(PX[j]/K) + 0.5  $\cdot \sigma^2 \cdot (T - T_j)) / (\sigma \cdot \sqrt{T - T_j})$ 
      error  $\leftarrow$  error - 1/(\sqrt{2\pi})  $\cdot (PX[j + 1] - PX[j]) \cdot \int_{-\infty}^{Upper} e^{-t^2/2} dt$ 
    end for
  end for
end procedure
```

算法并行性分析

procedure BSERROR(M, N)

 error \leftarrow 0

 NRV[N]

 BM[N]

 PX[N + 1]

$\delta t \leftarrow T/N$

 count \leftarrow 0

for $m = 1 : M$ **do**

 error \leftarrow 0

for all NRV[j] **do** NRV[j] \leftarrow GaussianNumGenerator()

end for

 BM[0] \leftarrow NRV[0] $\cdot \sqrt{\delta t}$

for all BM[j] **do** BM[j] \leftarrow BM[j - 1] + NRV[j] $\cdot \sqrt{\delta t}$

end for

 PX[0] \leftarrow X0

for all $j = 1 : N + 1$ **do**

 PX[j] \leftarrow X0 $\cdot \exp(-0.5 \cdot \sigma^2 \cdot j \cdot \delta t + \sigma \cdot BM[j - 1])$

end for

for all $j = 0 : N - 1$ **do**

 Upper $\leftarrow (\log(PX[j]/K) + 0.5 \cdot \sigma^2 \cdot (T - T_j)) / (\sigma \cdot \sqrt{T - T_j})$

 error \leftarrow error - $1/(\sqrt{2\pi}) \cdot (PX[j + 1] - PX[j]) \cdot \int_{-\infty}^{\text{Upper}} e^{-t^2/2} dt$

end for

end for

end procedure

算法并行性分析

procedure BSERROR(M, N)

 error \leftarrow 0

 NRV[N]

 BM[N]

 PX[N + 1]

$\delta t \leftarrow T/N$

 count \leftarrow 0

for $m = 1 : M$ **do**

 error \leftarrow 0

for all NRV[j] **do** NRV[j] \leftarrow GaussianNumGenerator()

end for

 BM[0] \leftarrow NRV[0] $\cdot \sqrt{\delta t}$

for all BM[j] **do** BM[j] \leftarrow BM[j - 1] + NRV[j] $\cdot \sqrt{\delta t}$

end for

 PX[0] \leftarrow X0

for all j = 1 : N + 1 **do**

 PX[j] \leftarrow X0 $\cdot \exp(-0.5 \cdot \sigma^2 \cdot j \cdot \delta t + \sigma \cdot BM[j - 1])$

end for

for all j = 0 : N - 1 **do**

 Upper $\leftarrow (\log(PX[j]/K) + 0.5 \cdot \sigma^2 \cdot (T - T_j)) / (\sigma \cdot \sqrt{T - T_j})$

 error \leftarrow error - $1/(\sqrt{2\pi}) \cdot (PX[j + 1] - PX[j]) \cdot \int_{-\infty}^{\text{Upper}} e^{-t^2/2} dt$

end for

end for

end procedure

算法并行性分析

procedure BSERROR(M, N)

error \leftarrow 0

NRV[N]

BM[N]

PX[N + 1]

$\delta t \leftarrow T/N$

count \leftarrow 0

for m = 1 : M **do**

error \leftarrow 0

for all NRV[j] **do** NRV[j] \leftarrow GaussianNumGenerator()

end for

BM[0] \leftarrow NRV[0] $\cdot \sqrt{\delta t}$

for all BM[j] **do** BM[j] \leftarrow BM[j - 1] + NRV[j] $\cdot \sqrt{\delta t}$

end for

PX[0] \leftarrow X0

for all j = 1 : N + 1 **do**

PX[j] \leftarrow X0 $\cdot \exp(-0.5 \cdot \sigma^2 \cdot j \cdot \delta t + \sigma \cdot BM[j - 1])$

end for

for all j = 0 : N - 1 **do**

Upper $\leftarrow (\log(PX[j]/K) + 0.5 \cdot \sigma^2 \cdot (T - T_j)) / (\sigma \cdot \sqrt{T - T_j})$

error \leftarrow error - $1/(\sqrt{2\pi}) \cdot (PX[j + 1] - PX[j]) \cdot \int_{-\infty}^{Upper} e^{-t^2/2} dt$

end for

end for

end procedure

蓝色的外层循环为相互独立的蒙特卡洛模拟次数并行度高, 可并行在单个 MIC 的不同线程上也可以并行在多个 MIC 处理器上

算法并行性分析

procedure BSERROR(M, N)

error \leftarrow 0

NRV[N]

BM[N]

PX[N + 1]

$\delta t \leftarrow T/N$

count \leftarrow 0

for m = 1 : M **do**

error \leftarrow 0

for all NRV[j] **do** NRV[j] \leftarrow GaussianNumGenerator()

end for

BM[0] \leftarrow NRV[0] $\cdot \sqrt{\delta t}$

for all BM[j] **do** BM[j] \leftarrow BM[j - 1] + NRV[j] $\cdot \sqrt{\delta t}$

end for

PX[0] \leftarrow X0

for all j = 1 : N + 1 **do**

PX[j] \leftarrow X0 $\cdot \exp(-0.5 \cdot \sigma^2 \cdot j \cdot \delta t + \sigma \cdot BM[j - 1])$

end for

for all j = 0 : N - 1 **do**

Upper $\leftarrow (\log(PX[j]/K) + 0.5 \cdot \sigma^2 \cdot (T - T_j)) / (\sigma \cdot \sqrt{T - T_j})$

error \leftarrow error - $1/(\sqrt{2\pi}) \cdot (PX[j + 1] - PX[j]) \cdot \int_{-\infty}^{Upper} e^{-t^2/2} dt$

end for

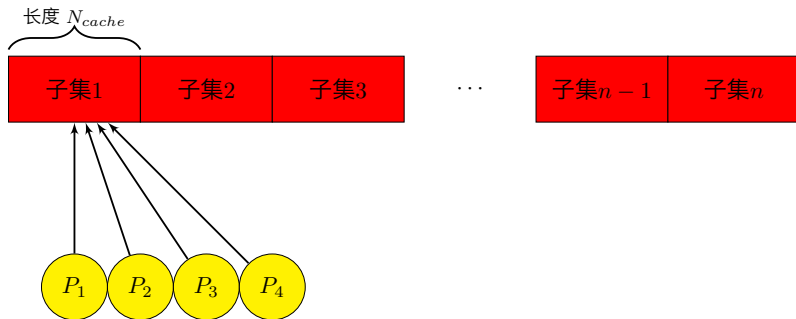
end for

end procedure

蓝色的外层循环为相互独立的蒙特卡洛模拟次数并行度高, 可并行在单个 MIC 的不同线程上也可以并行在多个 MIC 处理器上

红色循环为离线状态数组, 数组前后状态有依赖关系, 需要进行并行优化

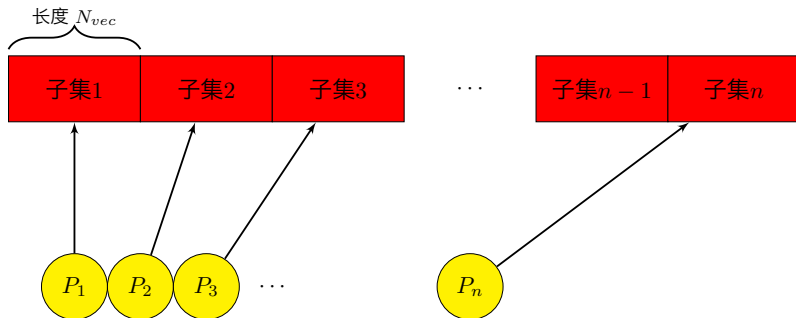
单片 MIC 单次蒙特卡洛并行优化



方案一

离线状态的数组总长度 N 分为 n 个子集，每个的长度为 N_{cache} ，单片 MIC 上的所有线程依次同时并行工作于子集 1，子集 2，直至最后一个子集。 N_{cache} 的大小要和缓存大小匹配，使数据可以在缓存内被所有线程所共享($512K \times 61 = 31M$ ，所有线程共享一个随机数发生流)

单片 MIC 单次蒙特卡洛并行优化



方案二

离线状态的数组总长度 N 分为 n 个子集，每个的长度为 N_{vec} ，每个子集由一个线程负责，所有线程同时并行工作，每个线程拥有自己的随机数发生流， N_{vec} 要和单个核心的 $L2$ 缓存相符合(512K)，以达到最大的数据重用。

基于汇编的矢量化积分运算

并行算法中大量使用了如下形式的积分运算

$$f(x) = \int_{-\infty}^x e^{-\frac{t^2}{2}} dt \quad (1)$$

利用辛普森积分法(Simpson's rule)可以对高斯积分进行矢量化(vectorized)计算

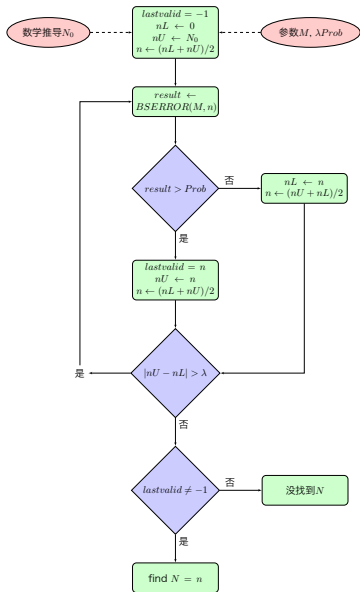
转化为高斯积分

$$f(x) = \int_{-\infty}^x e^{-\frac{t^2}{2}} dt = 0.5 \times \sqrt{2\pi} + \int_0^x e^{-\frac{t^2}{2}} dt \quad (2)$$

Simpson's rule

$$\int_a^b f(x) dx \approx \frac{h}{3} \left[f(x_0) + 2 \sum_{j=1}^{n/2-1} f(x_{2j}) + 4 \sum_{j=1}^{n/2} f(x_{2j-1}) + f(x_n) \right] \quad (3)$$

基于二分法的 N 值最优化搜索



初始值 N_0

本文通过数学推导给出了一个 N 值的上界 N_0 , 从而使我们的二分法有了初始的搜索上界

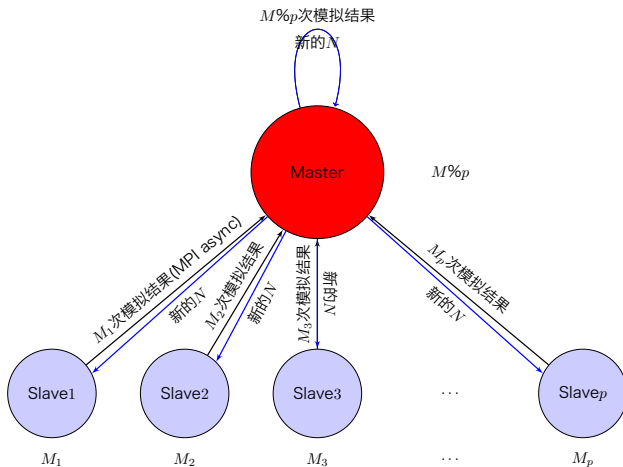
参数 $\lambda, Prob, M$

λ 是设置的最小区间, 当上下界之差小于 λ 时, 认为二分法结束 $Prob$ 则为置信概率, 值越高表明最后搜索到得 N 值可信度越高。 M 为蒙特卡洛模拟的次数, 越大的 M 也说明搜索到的结果越可靠。

多 MIC 并行优化

Maser-Slave 模式

一个节点被选为 Master，其余节点为 Slave 节点在 M 的维度上进行并行优化。

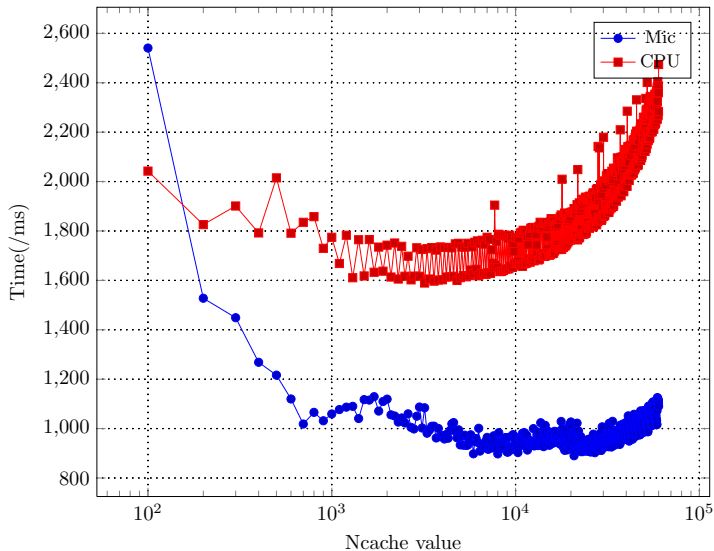


内容提要

- 1 背景介绍
- 2 课题陈述
- 3 并行化算法
- 4 实验结果及分析**

单 MIC 及 CPU 版本的实验对比(1/2)

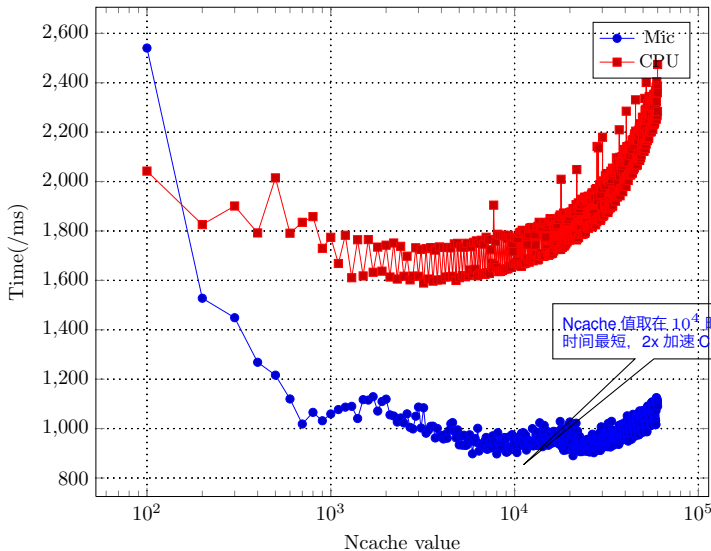
Time of Omp1 on CPU and MIC without GUIDED Chunk



单机并行
算法 1 在
单块 CPU
和单块
MIC 上的
实验对比,
Chunk 采
用系统默
认调度策
略

单 MIC 及 CPU 版本的实验对比(1/2)

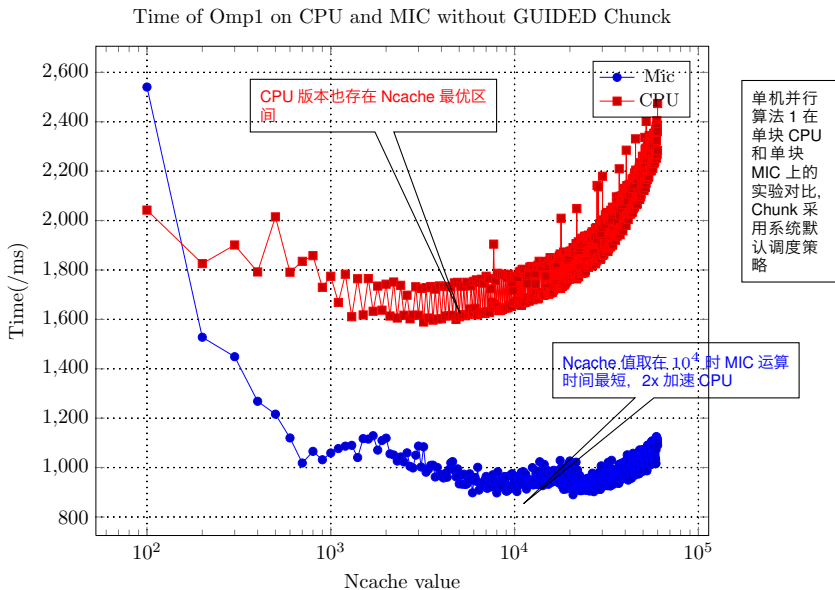
Time of Omp1 on CPU and MIC without GUIDED Chunk



单机并行
算法 1 在
单块 CPU
和单块
MIC 上的
实验对比,
Chunk 采
用系统默
认调度策
略

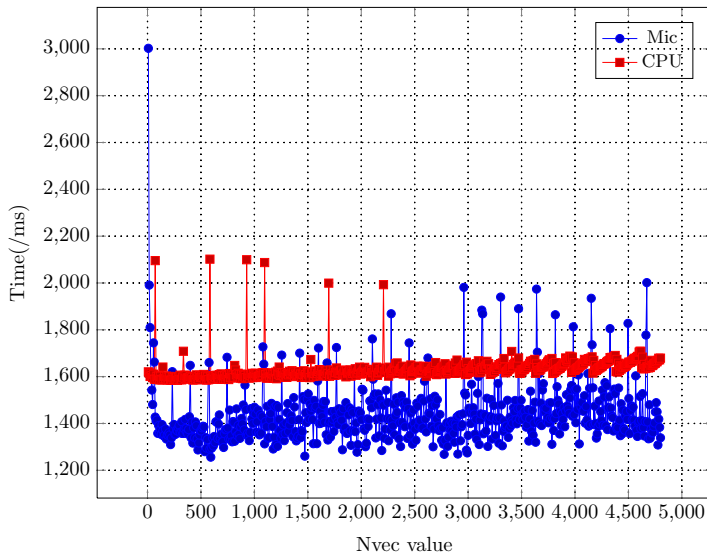
Ncache 值取在 10^4 时 MIC 运算
时间最短, 2x 加速 CPU

单 MIC 及 CPU 版本的实验对比(1/2)



单 MIC 及 CPU 版本的实验对比(2/2)

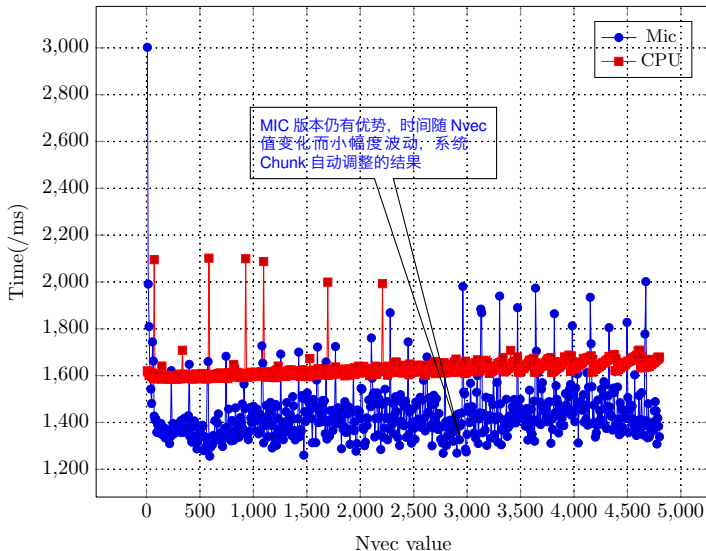
Time of Omp2 on CPU and MIC without GUIDED Chunk



单机并行
算法 2 在
单块 CPU
和单块
MIC 上的
实验对比,
Chunk 采
用系统默
认调度策
略

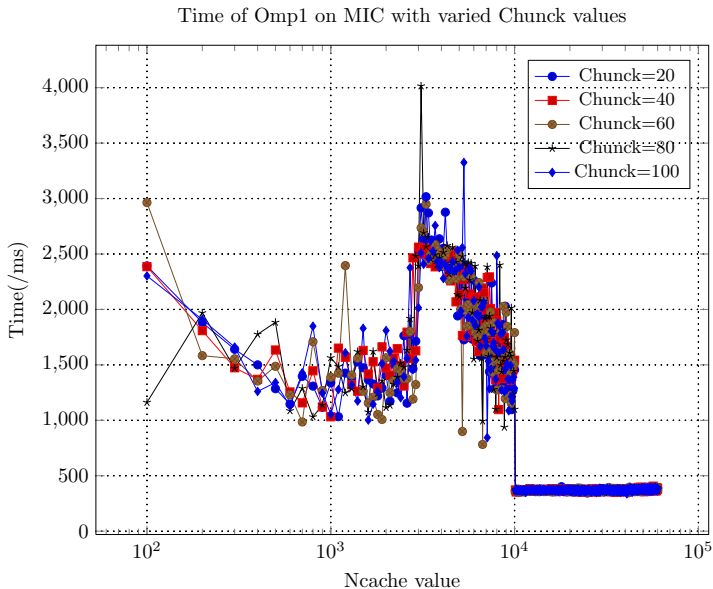
单 MIC 及 CPU 版本的实验对比(2/2)

Time of Omp2 on CPU and MIC without GUIDED Chunk



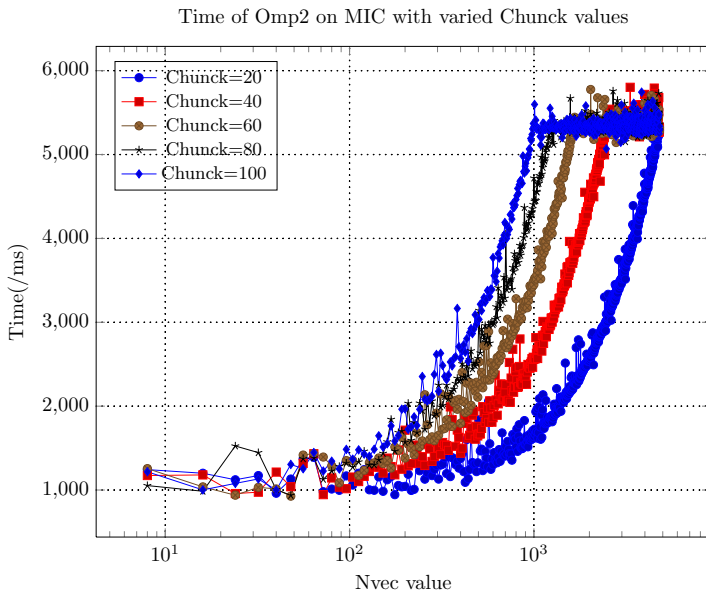
单机并行
算法 2 在
单块 CPU
和单块
MIC 上的
实验对比,
Chunk 采
用系统默
认调度策
略

Chunk 取值对算法 1 的影响



Chunk 值是系统每次分配给单个线程的并行任务数量, 图为算法 1 在 MIC 上的测试取 5 组不同的 Chunk 值

Chunk 取值对算法 2 的影响



Chunk 值是系统每次分配给单个线程的并行任务数量, 图为算法 2 在 MIC 上的测试取 5 组不同的 Chunk 值

多 MIC 优化实验及结果分析

content

content

参考文献